



Таким образом, можно сделать вывод, что при понижении объёмной доли концентрации одного из нуклеотидов до 0.1 от концентраций остальных видов нуклеотидов в растворе, возможно появление существенных (десятки тактов) временных задержек – пауз в движении ДНК-полимеразы, обусловленных ограничением диффузии свободных нуклеотидов из раствора. Во время этих пауз молекула ДНК-полимеразы неподвижно находится на 3'-конце растущей цепи ДНК, «ожидая» появления комплементарного нуклеотида.

## Список литературы

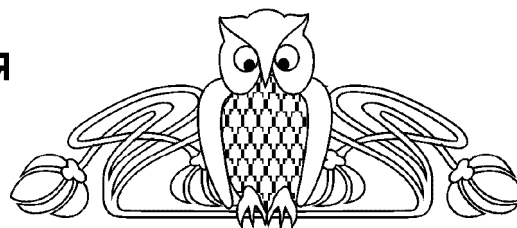
1. *Brooker R. J. Genetics : Analysis and Principles / 4th ed. McGraw-Hill, 2012. 868 p.*
2. *Bai L., Shundrovsky A., Wang M. D. Sequence-dependent Kinetic Model for Transcription Elongation by RNA Polymerase // J. of Molecular Biology. 2004. Vol. 344. P. 335–349.*
3. *Марголюс Н., Тоффоли Т. Машины клеточных автоматов / пер. с англ. М. : Мир, 1991. 280 с.*

УДК 530.182, 537.86

## ИССЛЕДОВАНИЕ СТОХАСТИЧЕСКОЙ БИФУРКАЦИИ АНДРОНОВА – ХОПФА В АВТОГЕНЕРАТОРЕ МЕТОДОМ ЧИСЛЕННОГО МОДЕЛИРОВАНИЯ

А. А. Купцова, В. В. Семенов, А. С. Листов

Саратовский государственный университет  
E-mail: a.a.kuptsova@rambler.ru



В работе исследуется мягкая бифуркация Андронова – Хопфа в генераторе Ван дер Поля, находящемся под действием аддитивного гауссова белого шума. Для определения бифуркации используется численное решение уравнения Фоккера – Планка – Колмогорова. Полученные результаты сравниваются с данными численного интегрирования стохастических уравнений. Показано существование бифуркационного интервала, рассчитанного теоретически в [6].

**Ключевые слова:** стохастические бифуркации, бифуркация Андронова – Хопфа, уравнение Фоккера – Планка – Колмогорова: схема метода дробных шагов (МДШ) и схема метода переменных направлений (МПН).

### Study of Stochastic Andronov – Hopf Bifurcation in the Oscillator by a Numerical Method

A. A. Kuptsova, V. V. Semenov, A. S. Listov

We investigate soft Andronov – Hopf bifurcation in the Van der Pol self – sustained oscillator, which is under the influence of additive Gaussian white noise. To determine the bifurcation used numerical solution of the Fokker – Planck – Kolmogorov equation. The results are compared with the data of numerical integration of stochastic equations. Demonstrated the existence of a bifurcation interval calculated theoretically in [6].

**Key words:** stochastic bifurcations, Andronov – Hopf bifurcation, Fokker – Planck – Kolmogorov equation, two finite – difference scheme: outline of the method of fractional steps scheme and variable directions method.

### Введение

Бифуркационный анализ в детерминированной нелинейной динамике играет очень важную

роль. Он позволяет выявить возможные сценарии перехода системы от простого поведения к сложному, проанализировать структуру возникающих предельных множеств и разработать методы управления этой структурой [1, 2]. Возникает вопрос: как повлияет шум на бифуркации, и что собой представляют бифуркации в присутствии шума? Этот вопрос является весьма важным в силу двух причин: во-первых, шум всегда присутствует в любой реальной системе, и, во-вторых, вблизи бифуркации система особенно чувствительна к действию шума, так как в бифуркационной точке нарушаются свойства структурной устойчивости [3]. Бифуркации в системах, содержащих источники шума, называются *стохастическими бифуркациями*. Имеется ряд работ, посвященных исследованию стохастических бифуркаций, среди которых, прежде всего, нужно назвать известную монографию В. Хорстнемке и Р. Лефевра [4], а также книгу Л. Арнольда [5], одна из глав которой посвящена стохастическим бифуркациям. Аддитивный гауссов шум приводит к объединению различных инвариантных множеств в фазовом пространстве динамической системы и установлению единой инвариантной вероятностной меры, характеризующейся стационарной плотностью вероятности, не зависящей от начального распределения. В этом случае стохастические бифуркации



представляют собой качественные перестройки плотности вероятности, происходящие при изменении параметров системы и интенсивности шума [4, 5]. Под качественной перестройкой, как правило, понимают возникновение или исчезновение локальных экстремумов распределения. В [5] бифуркации такого типа названы феноменологическими бифуркациями или Р-бифуркациями.

Исследование стохастических бифуркаций связано с рядом сложностей. Теоретические результаты удается получить только для наиболее простых моделей динамических систем и в большинстве случаев (за исключением простейших одномерных задач) они являются приближенными. В связи с этим важную роль приобретают методы численного моделирования. Однако численные методы при рассмотрении систем с шумом также могут привести к существенным ошибкам. По этим причинам в целях полного и надежного анализа стохастических бифуркаций желательно использовать все имеющиеся средства и делать выводы на основе сопоставления полученных результатов.

Одной из наиболее типичных и важных бифуркаций в динамических системах является бифуркация Андронова – Хопфа, с которой связан переход в режим генерации. Мягкая (суперкритическая) бифуркация Андронова–Хопфа в детерминированном случае приводит к рождению устойчивого предельного цикла из точки равновесия фокусного типа. Стохастическая бифуркация Андронова – Хопфа состоит в возникновении характерного для зашумленных автоколебаний вероятностного распределения, имеющего форму замкнутого кратера. Исследование влияния шума на переход к автоколебательному режиму представляет собой классическую задачу статистической радиофизики и описано в ряде работ [5–11]. Однако большая часть результатов получена в рамках квазигармонического анализа, который является приближенным и допустим только при сравнительно слабом шуме. Анализ мягкой бифуркации Андронова – Хопфа в системе Ван дер Поля – Дуффинга при аддитивном гауссовом шуме, проведенный с использованием более точного теоретического метода [6], показал, что при вариации управляющего параметра перестройка плотности вероятности, соответствующая завершённой стохастической бифуркации, происходит не сразу, а постепенно, в пределах некоторого интервала значений параметра, называемого бифуркационным интервалом. В работах [7, 8] делается вывод о существовании бифуркационно-

го интервала для суперкритической бифуркации Андронова – Хопфа в системах с мультипликативным цветным шумом.

Целью данной работы является исследование мягкой стохастической бифуркации Андронова – Хопфа с помощью численного решения уравнения Фоккера – Планка – Колмогорова (ФПК), с одной стороны, и уравнений Ланжевена, с другой стороны. Полученные результаты сопоставляются с данными приближенного квазигармонического анализа и теоретическими результатами, полученными в [6].

### 1. Исследуемые уравнения и квазигармонический анализ

В качестве базовой модели для исследования возникновения автоколебаний рассмотрим генератор Ван дер Поля под действием аддитивного гауссова белого шума:

$$\ddot{x} - (\varepsilon - x^2)\dot{x} + x = \sqrt{2D}n(t), \quad (1)$$

где  $x$ ,  $t$  – безразмерные переменные (координата и время),  $\varepsilon$  – управляющий параметр,  $n(t) = dW/dt$  – нормированный гауссов белый шум,  $D$  – константа, задающая интенсивность шума.

Используя метод усреднения в квазигармоническом случае, можно получить следующее приближенное выражение для стационарной плотности вероятности [12]:

$$p(x, y) = C \exp \left\{ -\frac{1}{16D} \left( (x^2 + y^2)^2 - 8\varepsilon(x^2 + y^2) \right) \right\}, \quad (2)$$

где  $C$  – нормировочная константа. Исследование экстремумы выражения (2), легко найти стохастическую бифуркацию при  $\varepsilon = 0$ , приводящую к возникновению кратерообразного распределения (рис. 1). При этом характер бифуркации и бифуркационное значение параметра  $\varepsilon$  не зависят от интенсивности шума  $D$ . Однако квазигармоническое приближение корректно при  $D \ll \varepsilon^2$  и вблизи значения  $\varepsilon = 0$  при конечной интенсивности шума может приводить к ошибочным результатам.

Выражение для вероятностного распределения в автогенераторе, справедливое при  $\varepsilon^2 \ll D$ , получено в [6] на основании аналитического решения уравнения Фоккера – Планка – Колмогорова. В принятых нами обозначениях оно имеет вид

$$p(x, y) = C \exp \left\{ -\frac{1}{32D} \left( (x^2 + y^2)^2 - 8\varepsilon(x^2 + y^2) \right) - \frac{3}{4}xy \right\}. \quad (3)$$

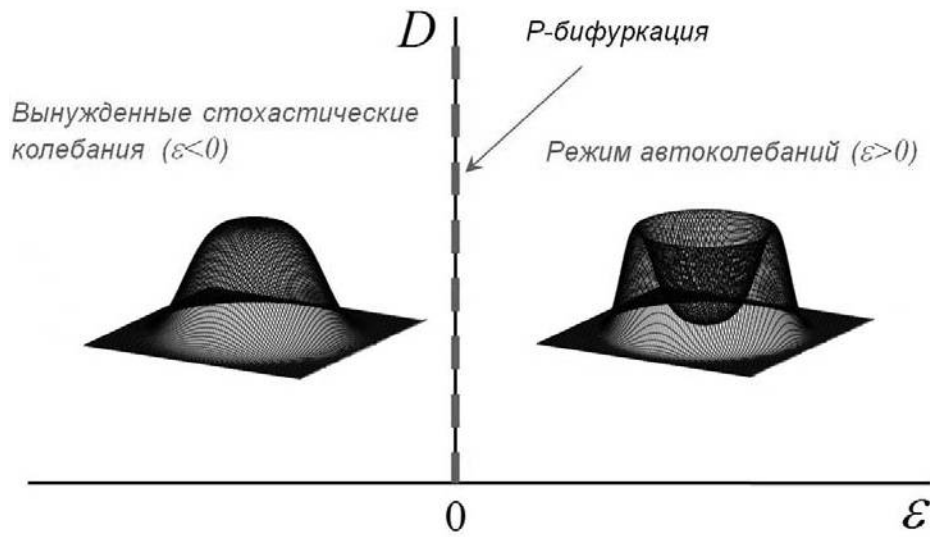


Рис. 1. Бифуркационная диаграмма системы (1), полученная методом квазигармонического анализа

Анализ выражения (3) дает следующий бифуркационный сценарий: при  $\varepsilon < -\frac{3}{2}D$  распределение  $p(x, y)$  имеет единственный максимум в начале координат, что соответствует зашумленному состоянию устойчивого равновесия при  $x = 0, y = 0$ . Область  $-\frac{3}{2}D < \varepsilon < \frac{3}{2}D$  представляет собой бифуркационный интервал. В силу разрушения радиальной симметрии в этой области возникают два максимума:  $x_{1,2} = \pm\sqrt{(2\varepsilon + 3D)}$ ,  $y_{1,2} = \mp\sqrt{(2\varepsilon + 3D)}$ . Область  $\varepsilon > \frac{3}{2}D$  соответствует существованию кратерообразного распределения, т.е. в точках предельного цикла имеется локальный максимум плотности вероятности.

## 2. Методы численного моделирования

Система, находящаяся под воздействием независимых источников белого гауссова шума, может быть описана как стохастическими дифференциальными уравнениями (уравнениями Ланжевена), так и уравнением ФПК. Оба способа описания полностью эквивалентны [12,13].

Уравнение ФПК для исследуемого генератора (1) записывается в виде:

$$\frac{\partial p}{\partial t} = \frac{\partial}{\partial x} [u(y)p] + \frac{\partial}{\partial y} [d(x, y)p] + D \frac{\partial^2}{\partial y^2} (p), \quad (4)$$

где

$$\begin{cases} a(y) = -y, \\ d(x, y) = (x^2 - \varepsilon)y + x. \end{cases}$$

Уравнение (4) является уравнением в частных производных параболического типа с двумя пространственными координатами. Для решения

уравнения ФПК (4) в данной работе были опробованы две конечно-разностные схемы: схема метода дробных шагов (МДШ) и схема метода переменных направлений (МПН). Общий смысл этих методов заключается в разбиении многомерной задачи на несколько частных задач [14, 15]. К достоинствам схемы МДШ можно отнести простоту в алгоритмизации и программировании и абсолютную устойчивость даже для задач, содержащих смешанные производные. Недостатком МДШ является то, что схема имеет первый порядок точности по времени. К достоинствам метода переменных направлений можно отнести высокую точность, поскольку метод имеет второй порядок точности по времени. К недостаткам можно отнести условную устойчивость при числе пространственных переменных больше двух и в задачах со смешанными производными уже в двумерном случае.

Стохастические дифференциальные уравнения генератора (1) (уравнения Ланжевена) численно интегрировались по схеме Гюна с учетом аддитивного гауссова шума. Стохастическая компонента включается в разностную схему в виде соответствующих приращений винеровского процесса, задаваемых с помощью генератора случайных чисел со стандартным гауссовым распределением [16]. В силу медленной сходимости разностной схемы при наличии шума шаг интегрирования выбирался малым (не более 0.001 единиц безразмерного времени). Путем статистической обработки данных интегрирования строились вероятностные распределения  $p(x, y)$ .



### 3. Результаты численных исследований

На рис. 2 сравниваются результаты, полученные с помощью интегрирования СДУ и численного решения уравнения ФПК методом дробных шагов и методом переменных направлений. Для наглядности сравнения рассматриваются кривые, соответствующие сечениям двумерных распределений при  $y = 0$ . Из графиков видно,

что две кривые из трех практически совпадают, а третья, соответствующая решению методом дробных шагов, довольно сильно отличается от них. Таким образом, МПН при решении данной задачи приводит к более надежному результату, и в дальнейшем для исследования стохастической бифуркации будем пользоваться этим методом решения уравнения ФПК.

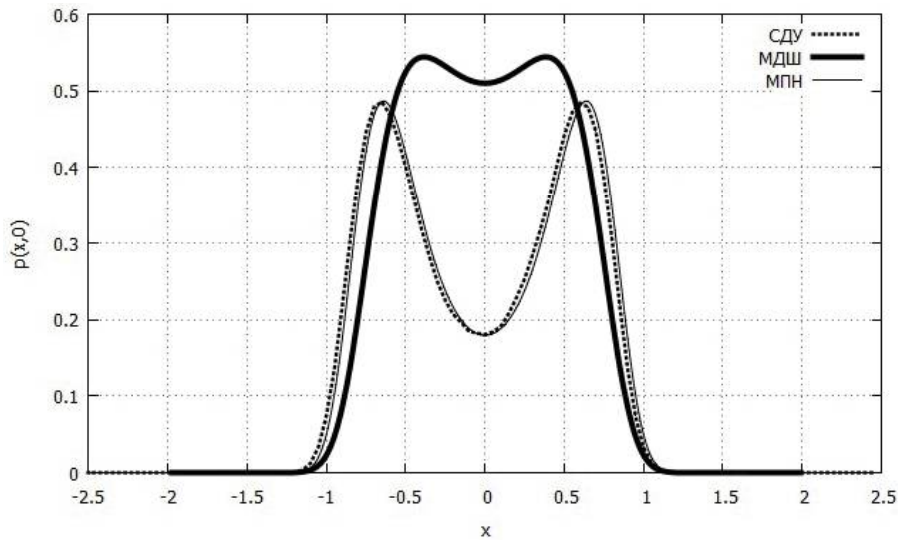


Рис. 2. Распределения плотности вероятности  $p(x,0)$ , рассчитанные разными методами при  $\varepsilon = 0.1$ ,  $D = 0.01$

Распределения  $p(x,y)$ , получаемые при численном решении уравнения ФПК, а также с помощью уравнений Ланжевена, не обладают аксиальной симметрией, характерной для выражения (2), полученного в рамках квазигармонического приближения. Именно нарушение аксиальной симметрии ведет к возникновению бифуркационного интервала [6 – 8]. Для более

точной диагностики бифуркационных переходов строились сечения вероятностного распределения плоскостями  $x = y$  и  $x = -y$ . Данные сечения, характерный вид которых приведен на рис. 3, являются особыми для исследуемой системы (1), так как проходят через стенки кратера распределения в точках их наименьшей и наибольшей высоты соответственно.

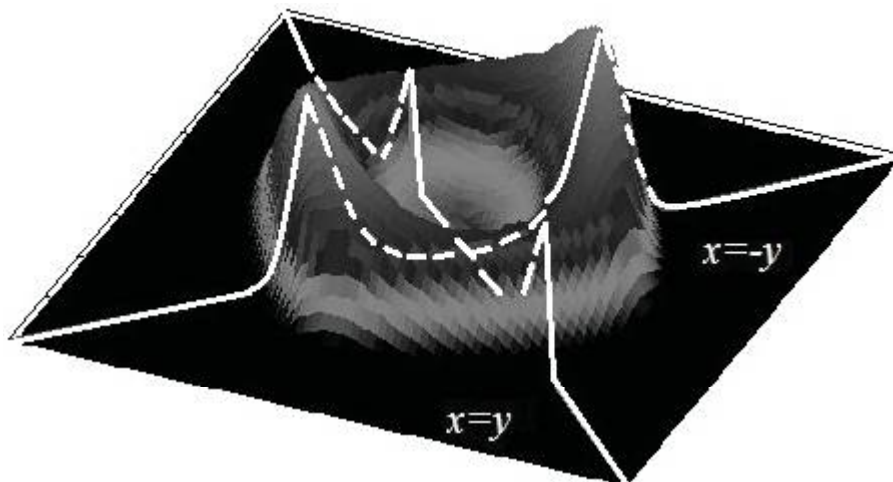


Рис. 3. Характерный вид поверхности  $p(x,y)$  с обозначенными сечениями  $x = 0$  и  $y = 0$



Перестройки плотности вероятности, соответствующие границам бифуркационного интервала, определялись по виду кривых, получаемых в указанных сечениях двумерной плотности вероятности. При переходе через границы

бифуркационного интервала с ростом параметра  $\varepsilon$  происходит рождение двух новых максимумов сперва в сечении  $x = -y$  (левая граница), а затем и в сечении  $x = y$  (правая граница). Характерные изменения вида кривых приведены на рис. 4.

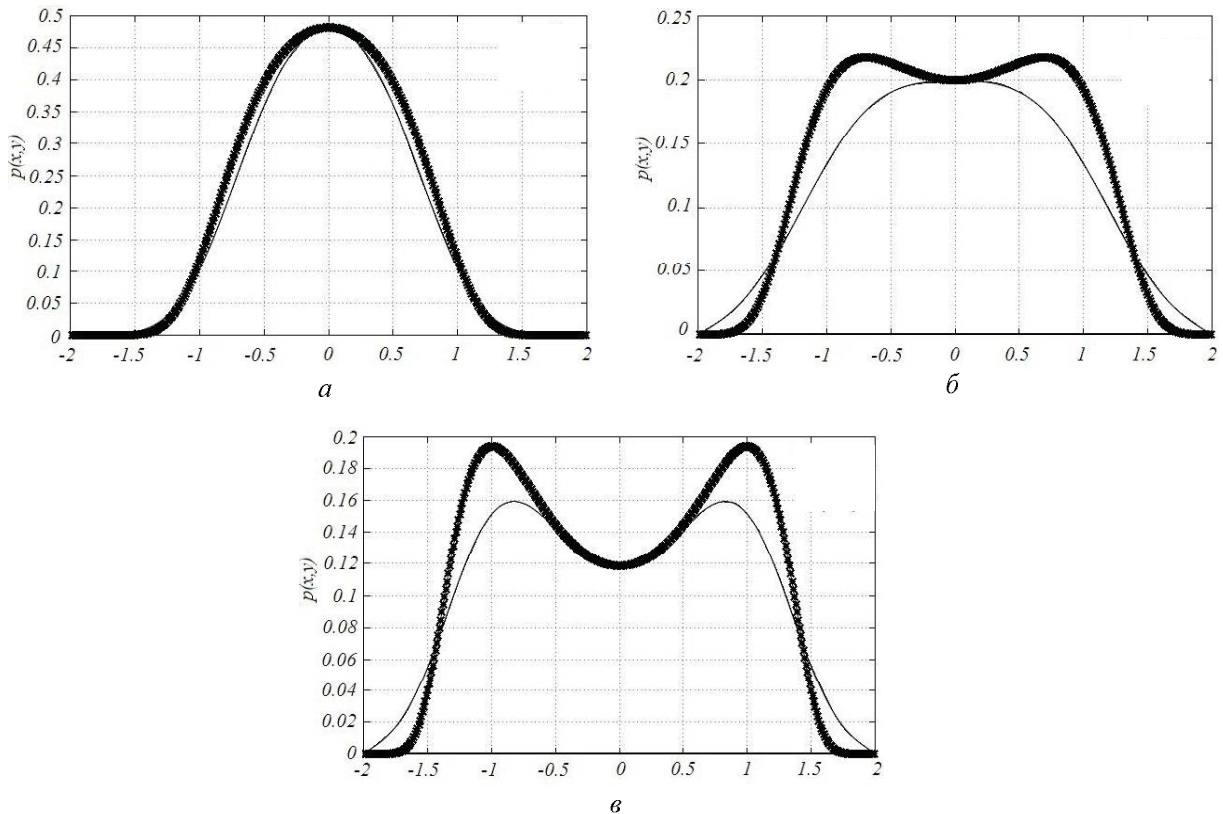


Рис. 4. Графики сечений плотности вероятности в двух плоскостях  $x = -y$  (линия со звездочками) и  $x = y$  (сплошная линия), полученные при пересечении бифуркационного интервала для фиксированного  $D = 0.1$  и различных значений  $\varepsilon$ :  $\varepsilon = -0.2$  (а);  $\varepsilon = -0.05$  (б);  $\varepsilon = 0.2$  (в). (Результаты получены при интегрировании уравнения ФПК методом переменных направлений)

Численное исследование эволюции распределения при вариации параметра  $\varepsilon$  и интенсивности шума, проведенное двумя методами, описанными выше, привело к качественно совпадающим результатам. Оба метода выявили существование бифуркационного интервала и однотипную эволюцию плотности вероятности при пересечении границ бифуркационного интервала. Данные результаты подтверждаются также натурными экспериментами, описанными в [17]. На рис. 5 представлена бифуркационная диаграмма автогенератора (1) на плоскости параметров  $D, \varepsilon$ .

**Выводы**

В работе проведено численное моделирование автогенератора, описываемого уравнением Ван дер Поля с аддитивным источником гауссова белого шума. Исследовался вид стационарной

плотности вероятности динамических переменных  $p(x,y)$ . Сравнивались два метода исследования: численное интегрирование уравнения ФПК и стохастических дифференциальных уравнений. Был подобран алгоритм интегрирования уравнения ФПК и параметры разностной схемы, обеспечивающие хорошее совпадение результатов двух численных методов при контрольном выборе значений параметров системы.

Численные исследования стохастической бифуркации Андронова – Хопфа как с помощью интегрирования уравнения ФПК, так и на основании решения стохастических уравнений подтвердили теоретические выводы о существовании бифуркационного интервала. Численно были построены границы бифуркационного интервала для различных значений параметра генерации  $\varepsilon$  и интенсивности шума  $D$ .

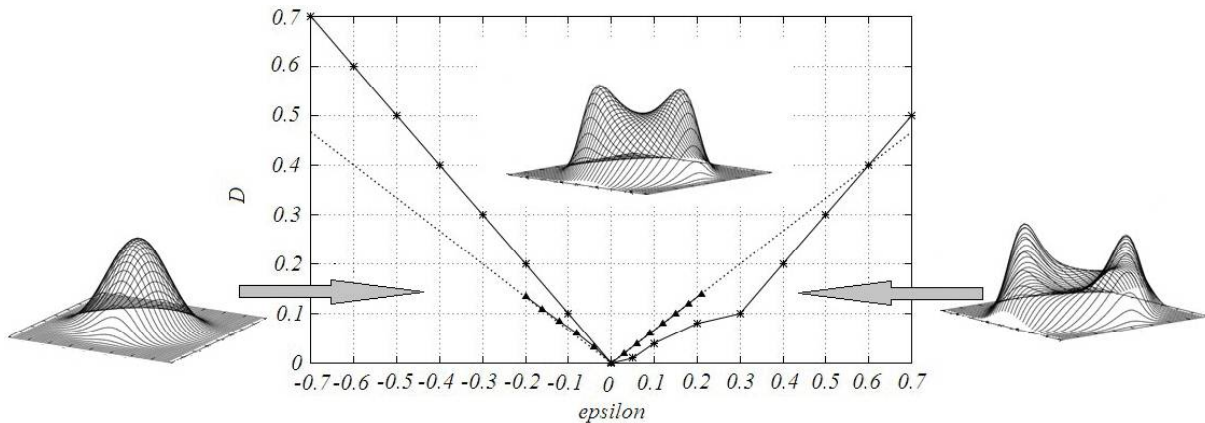


Рис. 5. Бифуркационная диаграмма системы (1): крестиками отмечены точки границ бифуркационного интервала, полученные в результате численного интегрирования уравнения ФПК методом переменных направлений; треугольники соответствуют расчетам, основанным на интегрировании стохастических уравнений (1); пунктирной линией отмечена теоретические границы бифуркационного интервала ( $D=2|\epsilon|/3$ ), согласно работе [13]

Однако, как можно видеть из приведенной на рис. 5 бифуркационной диаграммы, метод стохастических дифференциальных уравнений позволил получить границы бифуркационного интервала, которые в количественном отношении очень хорошо совпадают с результатами теории. В то же время метод уравнения ФПК при выбранных параметрах численной схемы оказался не достаточно точным и показал заметное количественное расхождение с теорией.

*Работа выполнена при финансовой поддержке Министерства образования и науки РФ в рамках государственного задания (код проекта 1008).*

### Список литературы

1. Арнольд А. В., Афраймович В. С., Ильясенко Ю. С., Шильников Л. П. Теория бифуркаций. М.: ВИНТИ, 1986.
2. Анищенко В. С., Астахов В. В., Вадивасова Т. Е., Нейман А. Б., Стрелкова Г. И., Шиманский-Гаётер Л. Нелинейные эффекты в хаотических и стохастических системах. М.; Ижевск: Институт комп. иссл., 2003.
3. Андронов А. А., Витт А. А., Хайкин С. Э. Теория колебаний. М.: Наука, 1981.
4. Хорстнемке В., Лефевр Р. Индуцированные шумом переходы. М.: Мир, 1987.
5. Arnold L. Random dynamical systems. Berlin: Springer, 2003.
6. Ebeling W., Herzel H., Richert W., Schimansky-Geier L., Influence of noise on Duffing-van der Pol oscillators // Zeitschrift fr angewandte Mathematik und Mechanik (ZAMM), 1986. Vol. 66. P. 141–146.
7. Lefever R., Turner J. Sensitivity of a Hopf bifurcation to multiplicative colored noise // Phys. Rev. Lett. 1986. Vol. 56. P. 1631–1634.
8. Olarrea J., F. J. de la Rubia. Stochastic Hopf bifurcation: The effect of colored noise on the bifurcational interval // Phys. Rev. E. 1996. Vol. 53(1). P. 268–271.
9. Arnold L., Sri Namachshivaya N., Schenk-Yopp K. R., Toward an understanding of stochastic Hopf bifurcation: a base study // Intern. J. Bifurcation and Chaos. 1996. Vol. 6. P. 1947–1975.
10. Bashkirtseva I., Ryashko L., Schurz H. Analysis of noise-induced transitions for Hopf system with additive and multiplicative random disturbances // Chaos, Solitons, and Fractals. 2009. Vol. 39. P. 7–16.
11. Zakharova A., Vadivasova T., Anishchenko V., Koseska A., Kurths J. Stochastic bifurcations and coherence-like resonance in a self-sustained bistable noisy oscillator // Phys. Rev. E. 2010. Vol. 81(1). P. 011106(1–6).
12. Стратонович Р. Л., Избранные вопросы теории флуктуаций в радиотехнике. М.: Сов. радио, 1961.
13. Risken H. The Fokker-Planck Equation. Methods of Solution and Application // Berlin: Springer, 1989.
14. Федоренко Р. П. Введение в вычислительную физику. Долгопрудный: Изд. дом «Интеллект», 2008.
15. Тихонов А. Н., Самарский А. А. Уравнения математической физики. М.: Наука, 2004.
16. Никитин Н. Н., Разевиг В. Д., Методы цифрового моделирования стохастических дифференциальных уравнений и оценка их погрешностей // Журн. вычислительной математики и математической физики. 1978. Т. 18(1). С. 107–116.
17. Семенов В. В., Вадивасова Т. Е., Анищенко В. С. Экспериментальное исследование эволюции вероятностного распределения в автогенераторах с аддитивным шумом // Письма в Журнал технической физики. 2013. Т. 396 (14). С. 16–24.